



# Projet AEGIS

Un projet de (mesure de) poids ...  
... devenant réalité !

Patrick Nedelec - IPNL



# Plan

- Problématique scientifique abordée
- Le projet AEGIS
- Préparation de l'expérience
- Mise en route

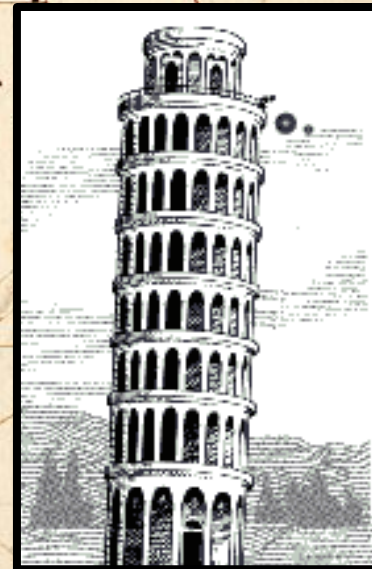
# Un problème de poids !

Galileo Galilei - 1564 – 1642

1<sup>ere</sup> mesure expérimentale de la chute gravitationnelle de la matière

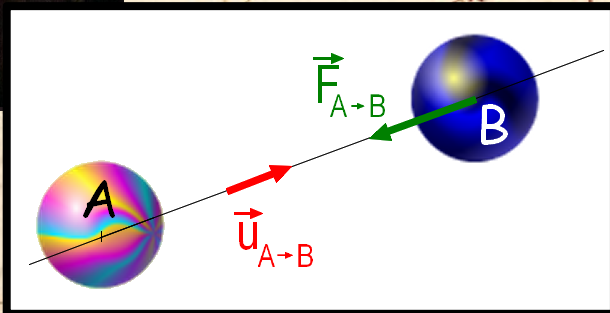
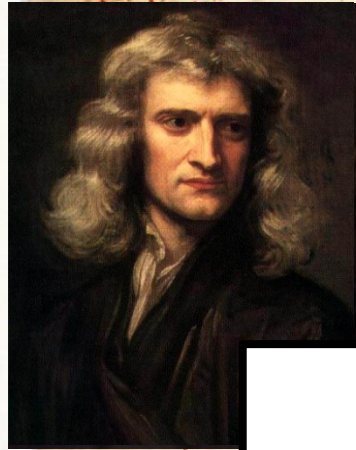
Tous les corps graves chutent de façons identique dans le vide.

Ils sont accélérés



# De l'expérience à la théorie

Isaac Newton – 1643 - 1727

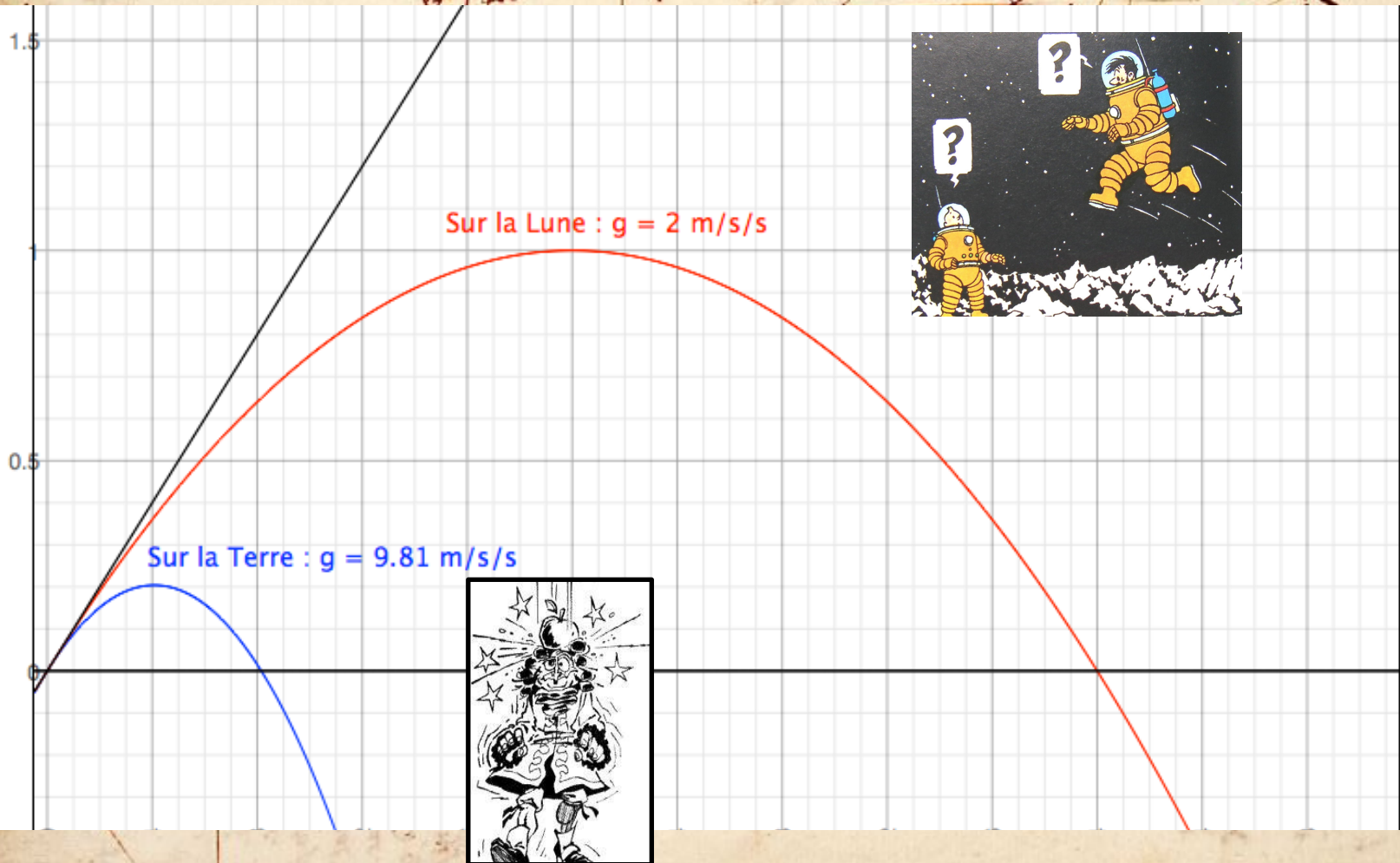


Théorie  
de la  
gravitation  
universelle

$$\vec{F}_{A/B} = -G \frac{m_A m_B}{\|\vec{r}_{AB}\|^2} \vec{u}_r$$



# Chute libre : la parabole

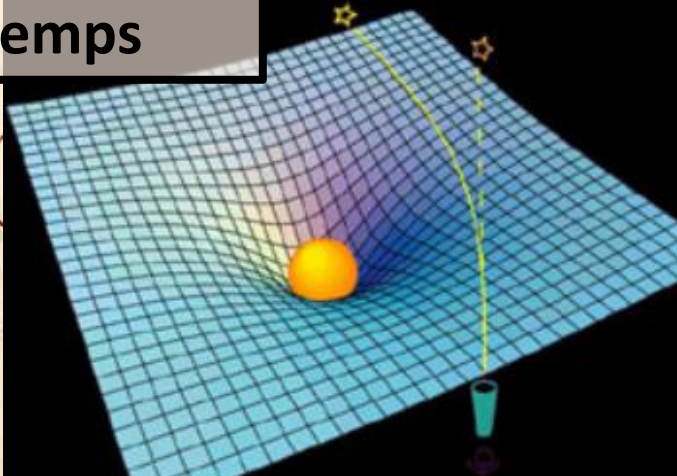


# La théorie relativiste

Albert Einstein – 1879 - 1955

**Théorie de la relativité générale :  
Matière-Energie créent  
la géométrie de l'espace-temps**

$$\mathbf{G} = \frac{8\pi G}{c^4} \mathbf{T}. \quad G_{\mu\nu} = R_{\mu\nu} - \frac{1}{2} R g_{\mu\nu}$$



Les particules se déplacent sur de  
géodésiques

# Modèle standard de physique des particules

Théorie quantique des champs + relativité restreinte

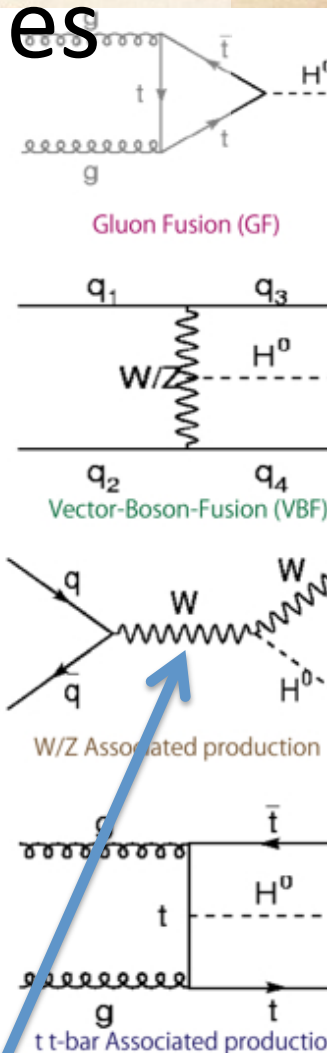
P. Dirac et al. – 1930 – 2014...



	Fermions			Gauge Bosons		
	1st gen.	2nd gen.	3rd gen.			
QUARK	<b>u</b> up	<b>c</b> charm	<b>t</b> top	Strong Force <b>g</b> Gluon		
	<b>d</b> down	<b>s</b> strange	<b>b</b> bottom	Electro-Magnetic Force <b>γ</b> photon		
LEPTON	<b>ν<sub>e</sub></b> e neutrino	<b>ν<sub>μ</sub></b> μ neutrino	<b>ν<sub>τ</sub></b> τ neutrino	Weak Force <b>W<sup>+</sup> W<sup>-</sup> Z</b> W bosons Z boson		
	<b>e</b> electron	<b>μ</b> muon	<b>τ</b> tau			
Scalar Bosons				<b>H</b> Higgs		

$$(i\gamma^\mu \partial_\mu - m)\psi = 0$$

Décrit les particules relativistes et les **antiparticules** (prédites)

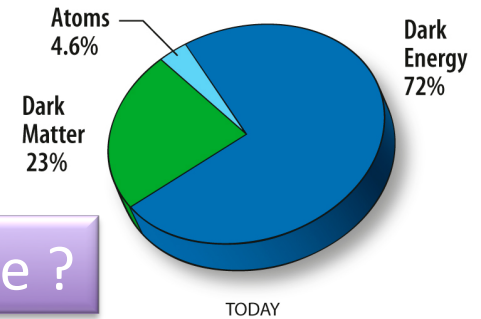


Les particules interagissent par **échange** d'autres particules (bosons)

Asymétrie Matière - antimatière

symétries  $C, P, CP, CPT$  ?

Matière sombre ?



2014 : Situation expérimentale/théorique

$$(i\gamma^\mu \partial_\mu - m)\psi = 0$$

Au-delà du  
Modèle standard ?

Modèle standard  
+  
gravitation = ?

Peu de mesures  
Des interrogations  
Quelles expériences  
Pour demain ?

Energie noire ?

Idées claires ?



# Antimatière & (anti) gravité



$$V = -G \frac{MM'}{r} \left( 1 \mp ae^{-\frac{r}{v}} + be^{-\frac{r}{s}} \right)$$



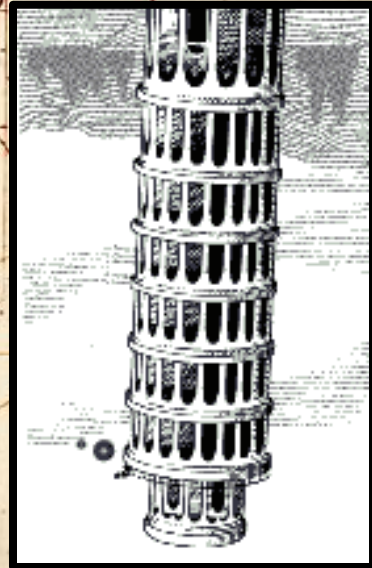
Newton

Supergravité N=2,...,8 : anti-graviton  
-> gravité répulsive !

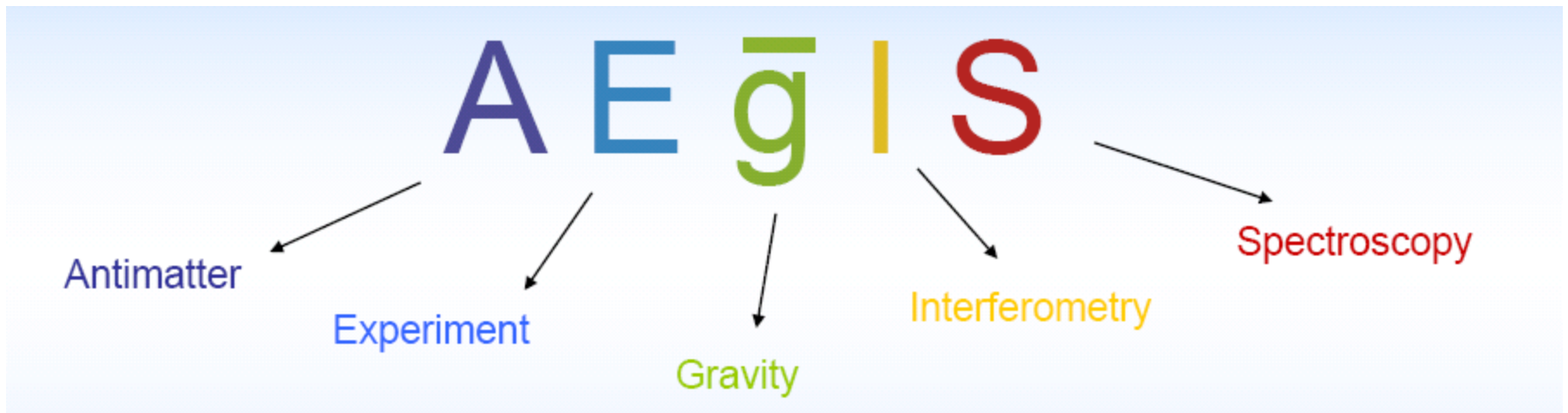
- Contraintes exp. : M. Nieto & al. Phys. Rep. 205 (1991)
- Motivation pour l'antigravité : G. Chardin, Hyp. Int. 109, 83 (1997)
- Violations de Lorentz & CPT : V.A. Kostelecky et al., Phys. Rev. D83 (2011)
- Workshop on Antimatter & Gravitation, Paris (2011)
- DM & DE : gravitation. pol. & dipole of vacuum : D.S.Hajdukovic, Astro Space Sciences 338, (March 2012)
  
- Nouvelles expériences :
  - Gbar (CERN-AD 2016)
  - AEGIS (CERN-AD6 -2012)

AEGIS - 2010 - 202x

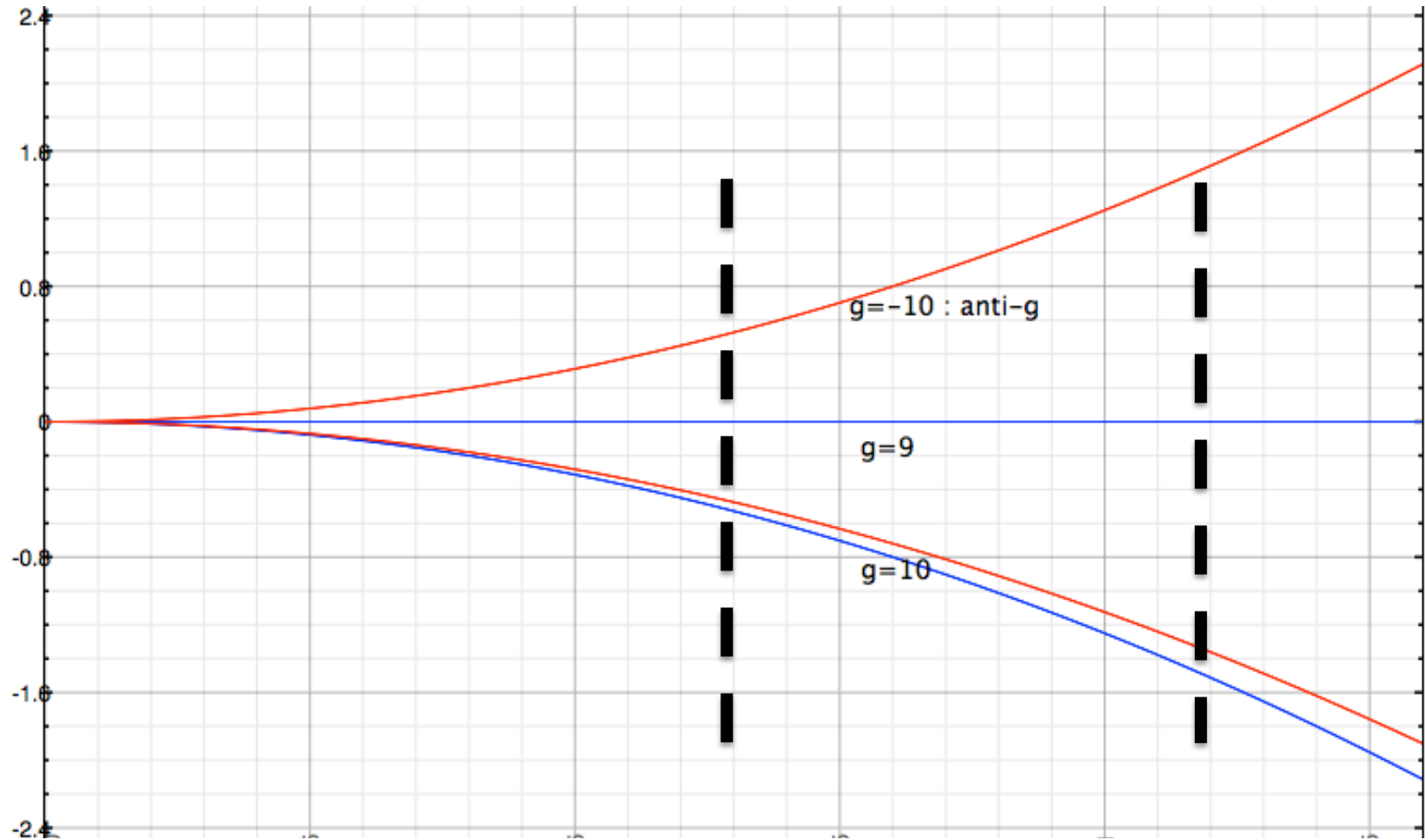
1<sup>ere</sup> mesure expérimentale de la chute gravitationnelle de l'ANTIMATIÈRE



# L'expérience AEGIS/CERN-AD-6



# Principe : la parabole filtrée



# Les buts scientifiques d' $AE\bar{g}IS$

**Primary goal:** mesure de l'accélération gravitationnelle terrestre  $\bar{g}$  sur l'anti hydrogène

## Test Weak Equivalence Principle

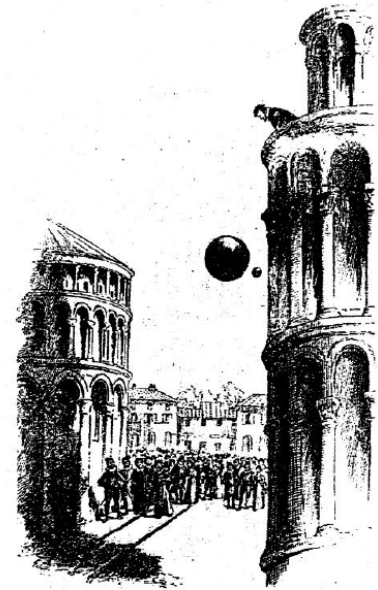
- The trajectory of a falling test body depends ONLY on its INITIAL POSITION and VELOCITY and is independent of its composition
- All bodies at the same spacetime point in a given gravitational field will undergo the SAME acceleration

- First direct measure of WEP validity for antimatter
- WEP violations for antimatter possible in some quantum gravity model

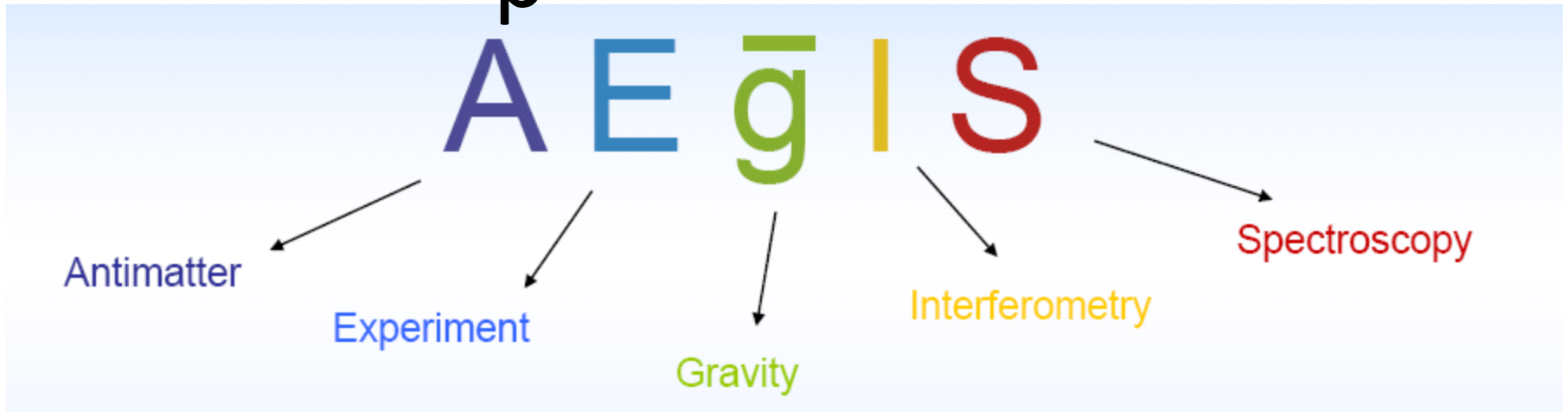
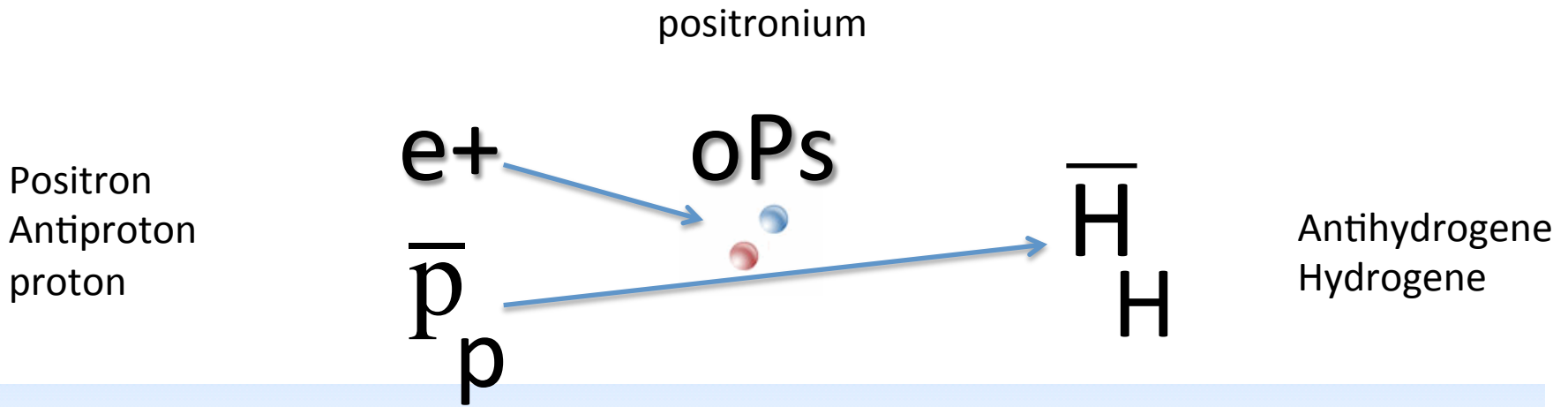
Precision : first goal 1% with  $10^5$  antihydrogen atoms  
higher accuracy in the future

### Additional physics interests:

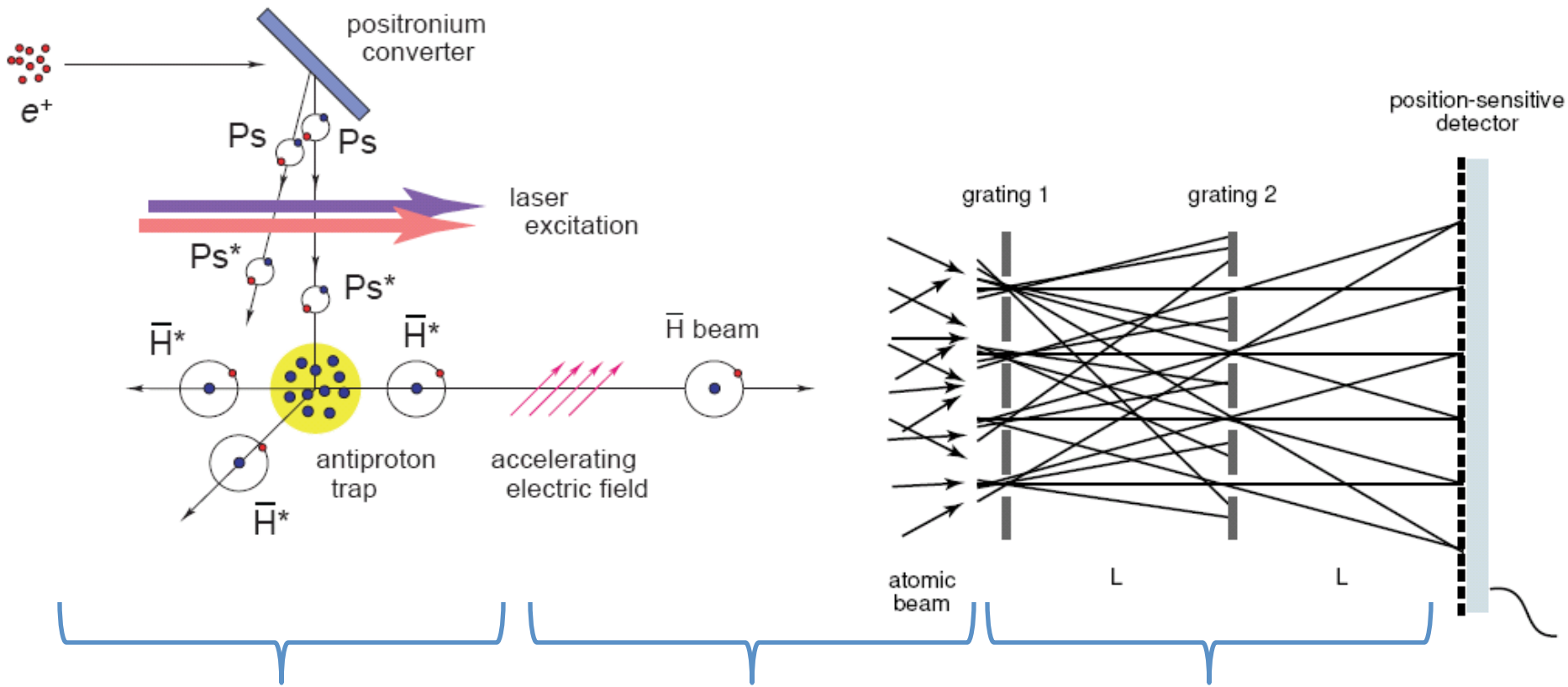
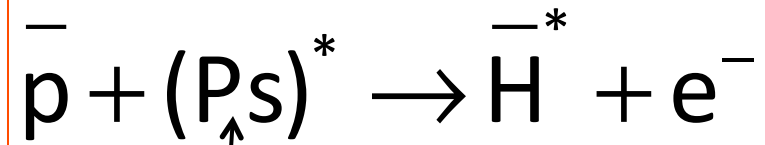
- High precision antihydrogen spectroscopy (CPT tests)
- Positronium physics



# Les ingrédients de AEGIS/AD-6



Principe :

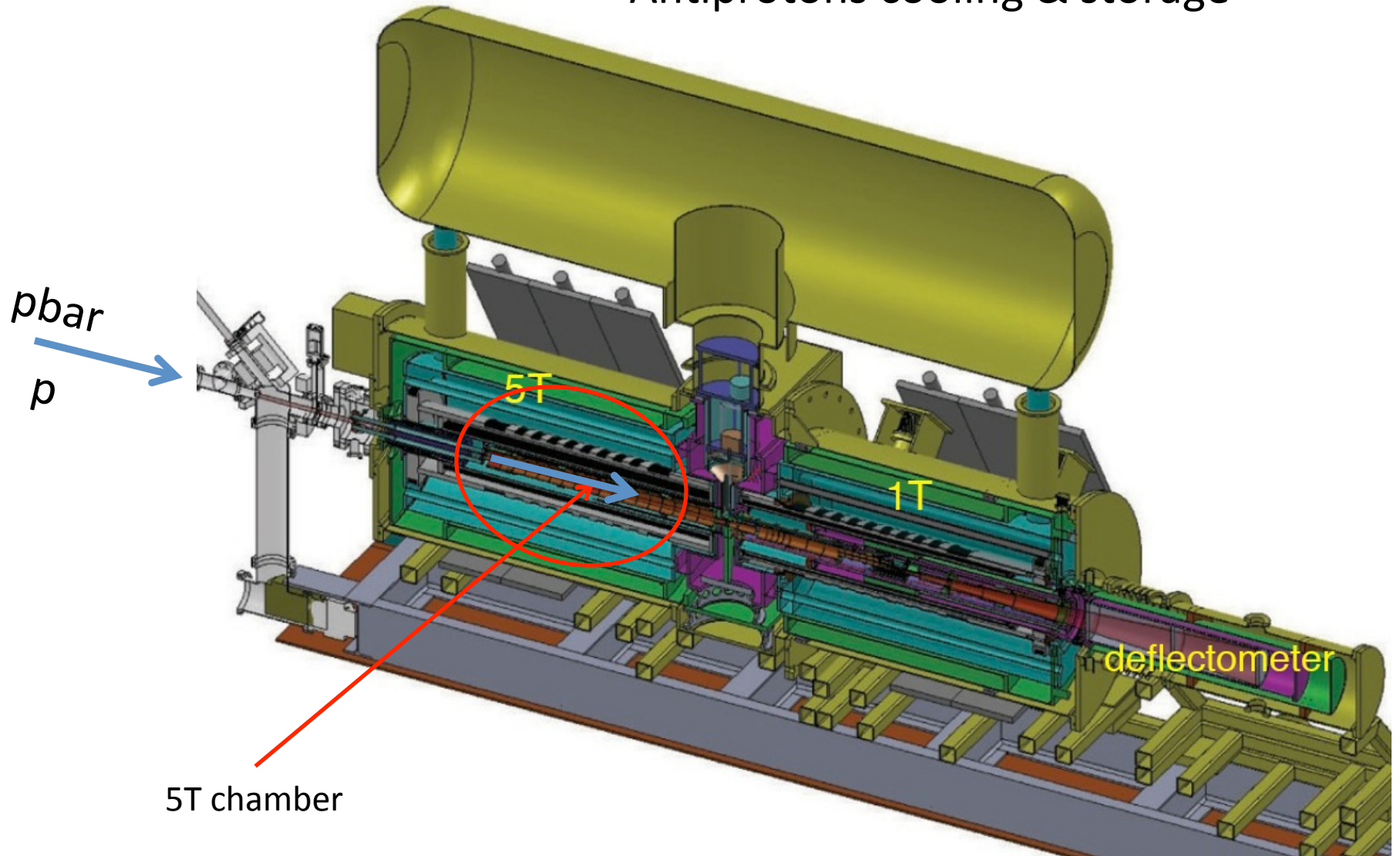


1) Hbar formation

2) beam formation

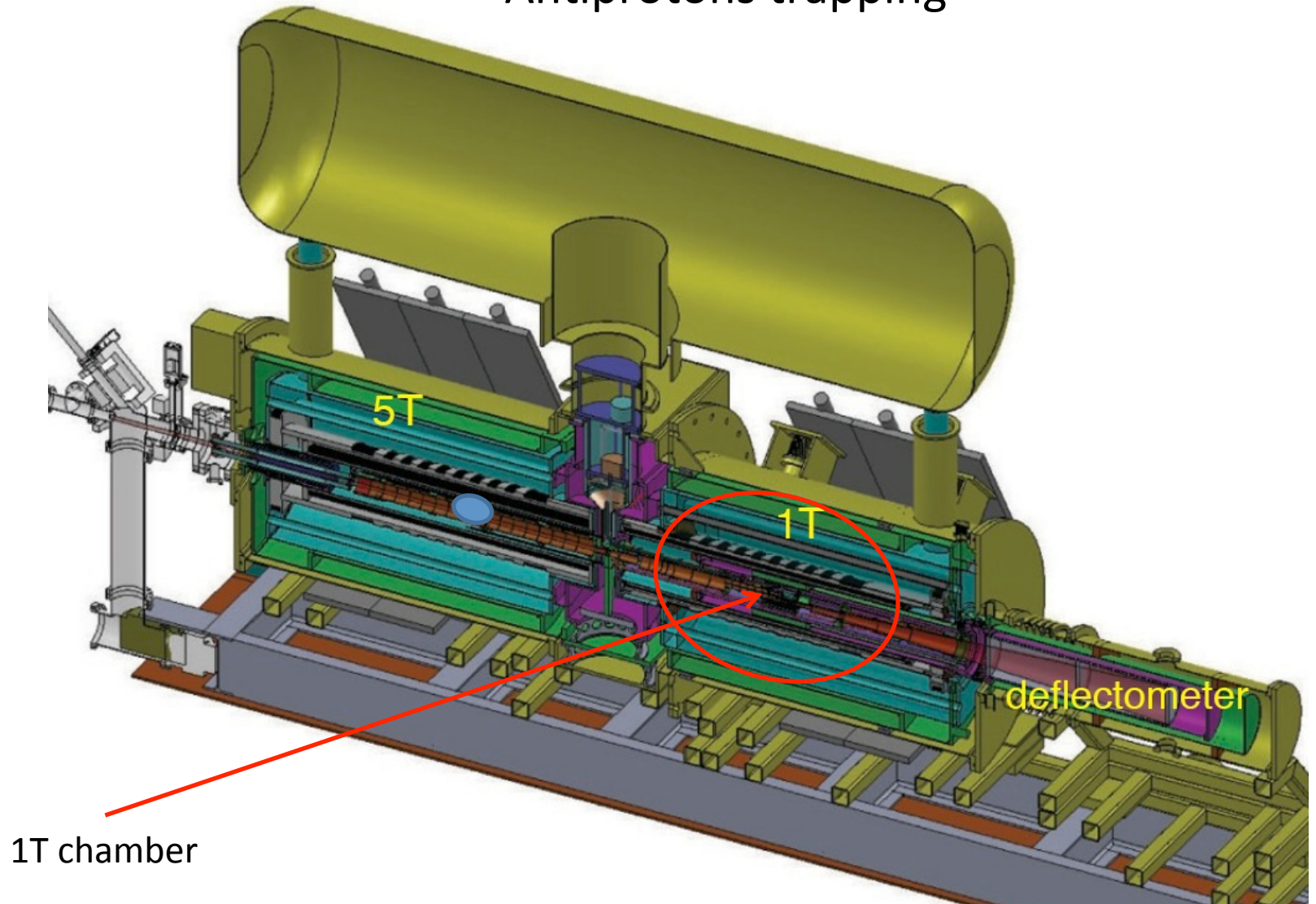
3) Trajectory measurement

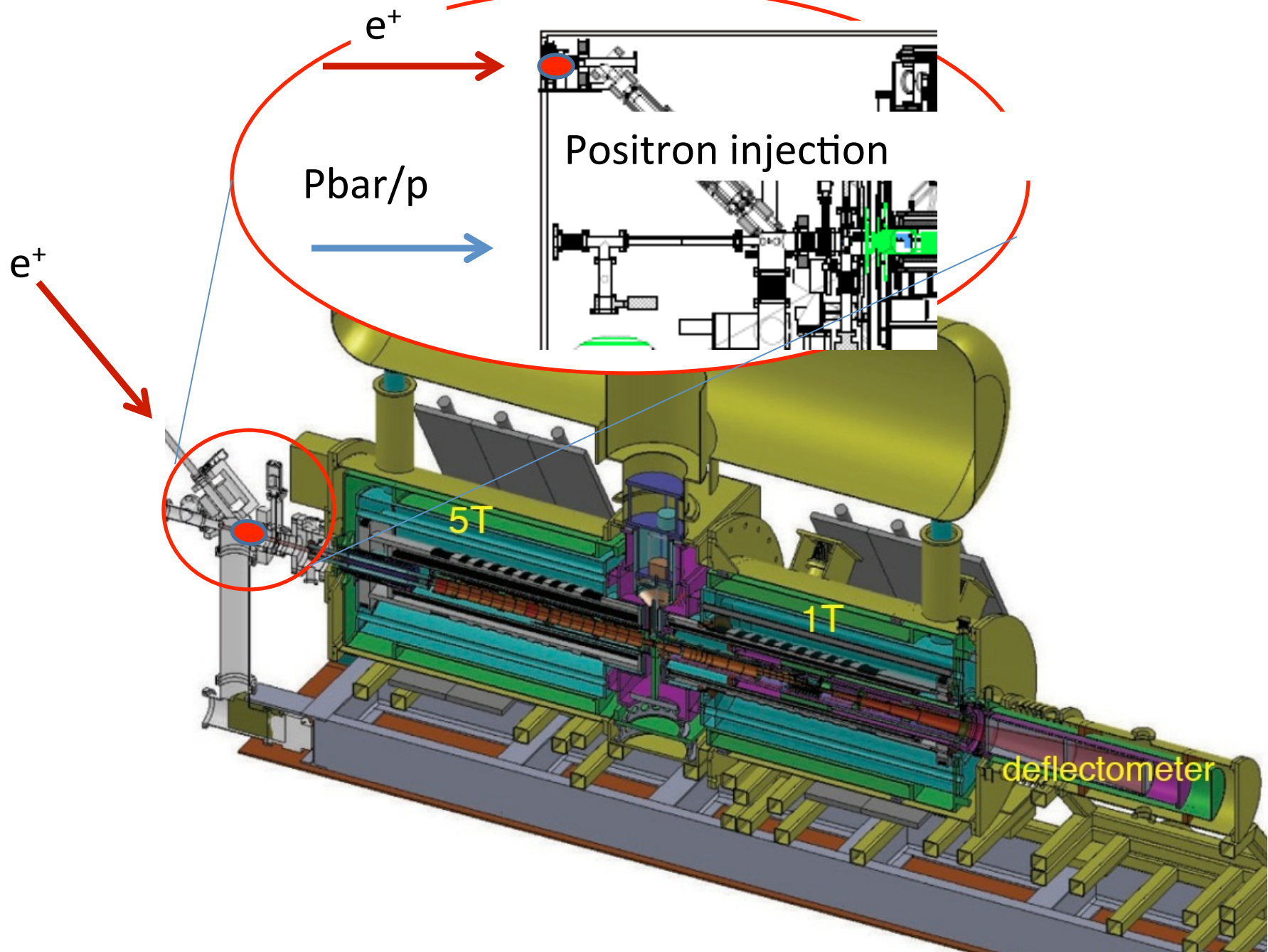
# Antiprotons cooling & storage





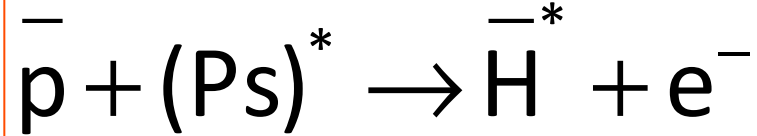
# Antiprotons trapping



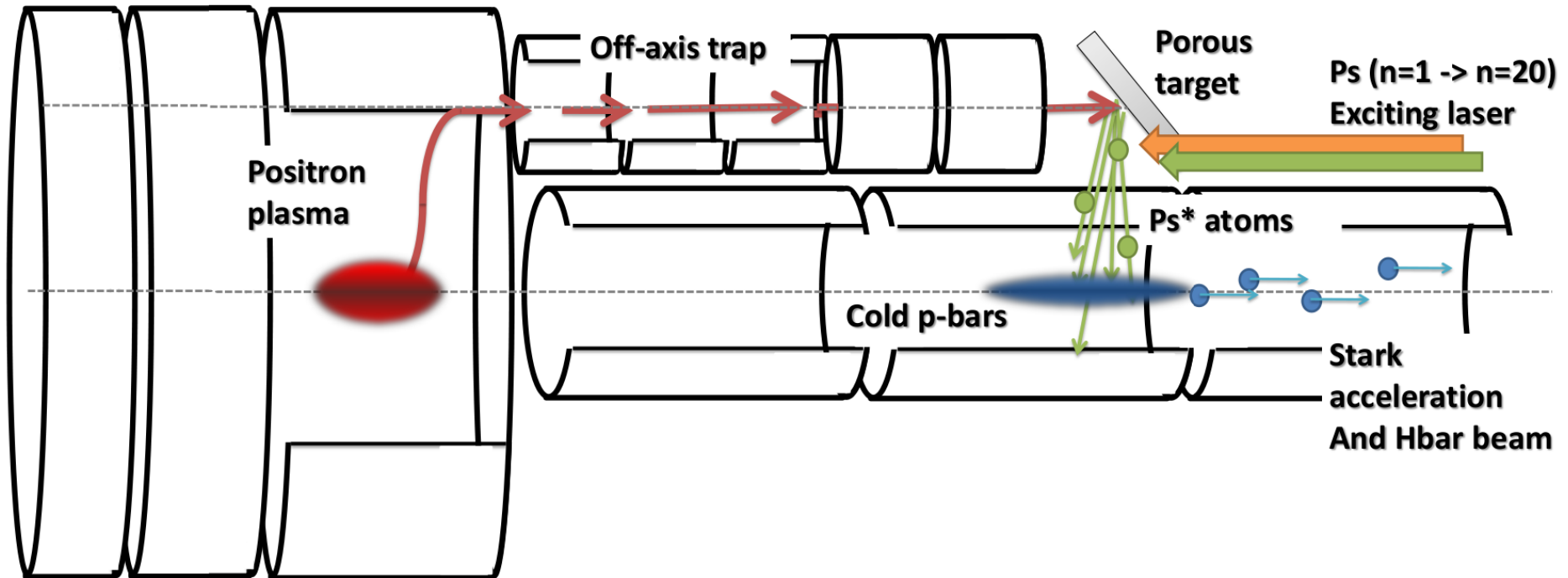


# AEgIS : antihydrogen production

- $\bar{\text{H}}$ : form cold (100 mK) antihydrogen atoms by the charge exchange process



- Accelerate the antihydrogen atoms to  $\sim$  few 100 m/s using electric fields



# The AEGIS: pbar beam

## Antiproton beam

- pbar from CERN-AD
  - E = 3.5 GeV/c production
  - electron cooling

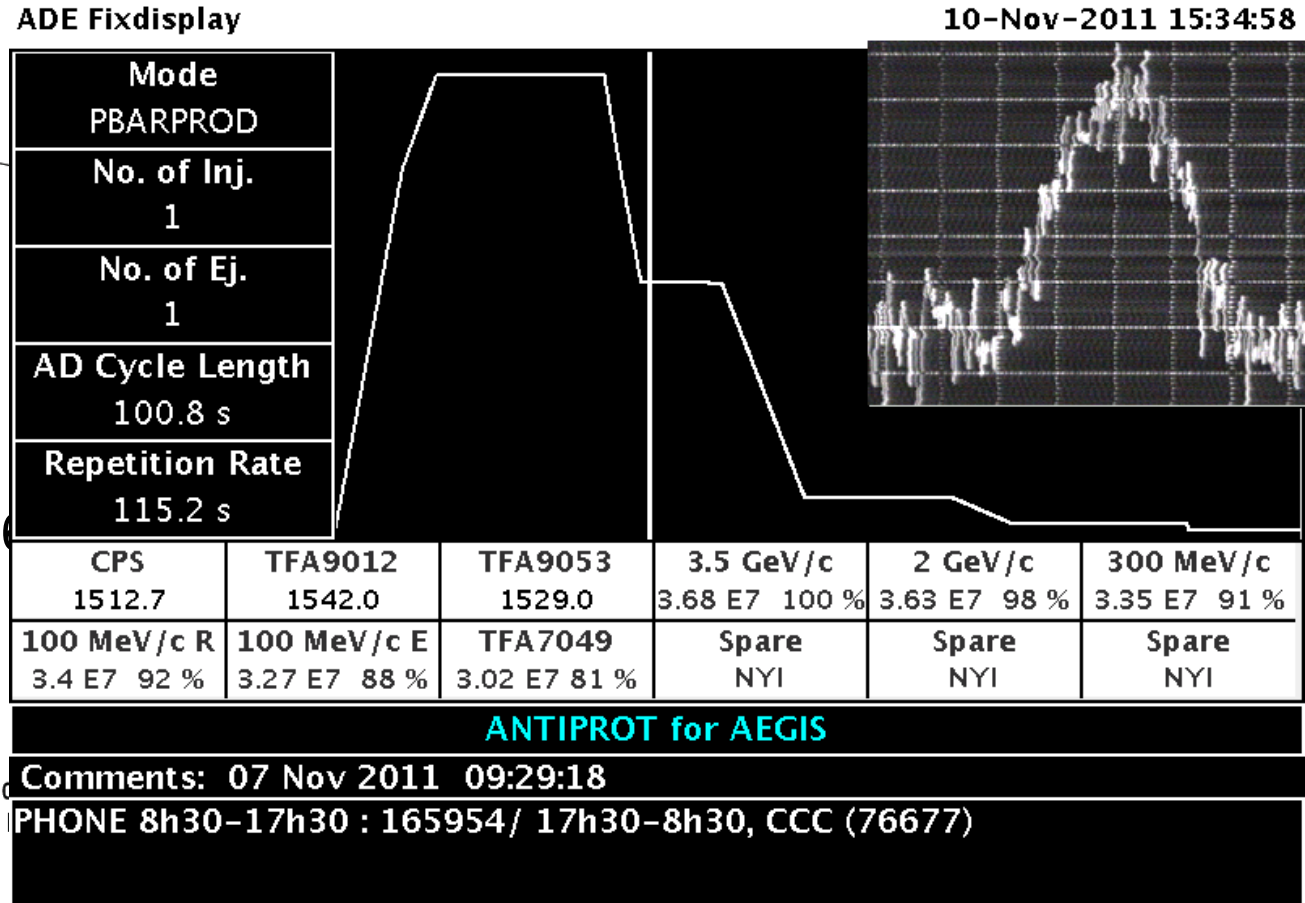
- AD-6 pbar beam
  - E = 5 MeV
  - $2 \cdot 10^7$  / 200 ns

- (futur → ELENA (2016))
- E=100 keV

First AEGIS pbar signal



10-Nov-2011 15:34:58



No Message

# AEgIS : Production of positronium

- Ps : Produce ground state positronium sending the  $e^+$  into a nanoporous target :

- $\text{Al}_2\text{O}_3$  (INP, IPNL) :
  - $t_0 = 142$  ns
  - Pores  $\sim 30$ -50 nm
  - 22% produced oPs /  $e^+$

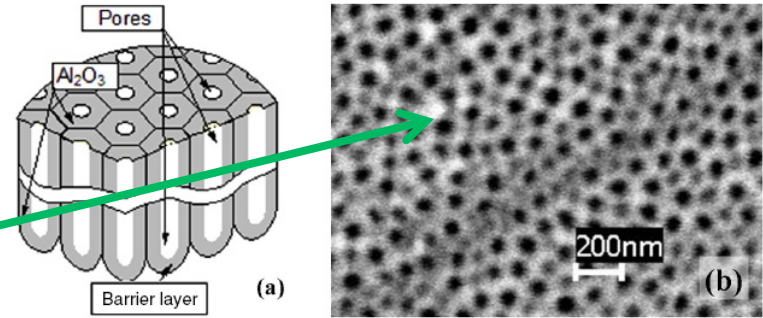
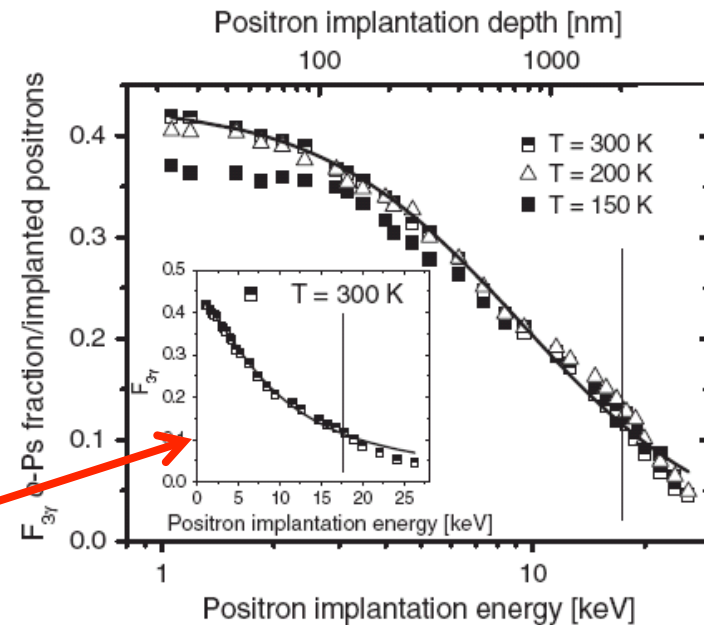
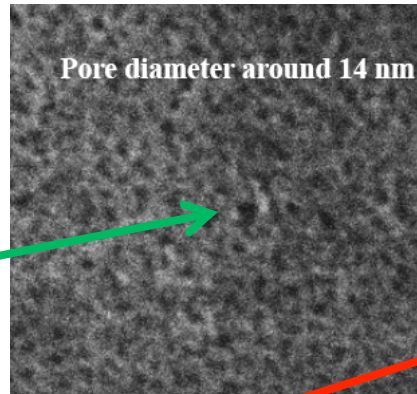


Figure 1. (a) Schematic representation of anodic alumina structure and (b) electron microscopy image of the surface of anodic  $\text{Al}_2\text{O}_3$ .

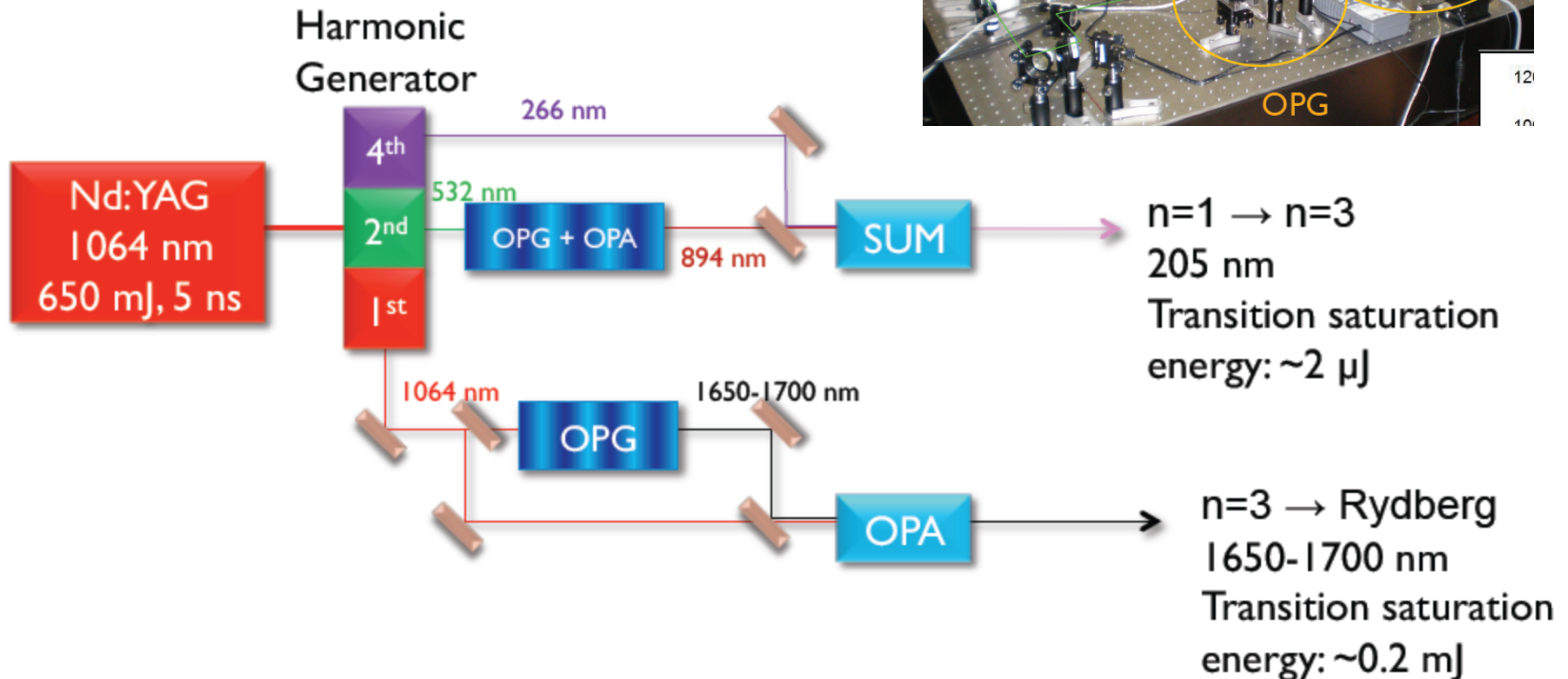
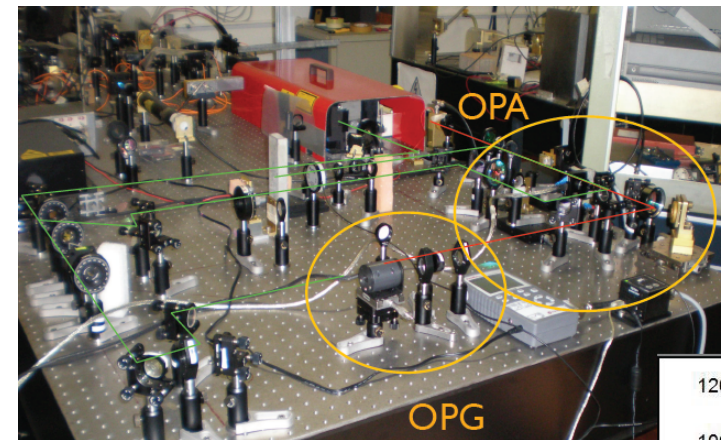
- Si/SiO<sub>2</sub> (INFN) :
  - Pores  $\sim 10$ -20 nm
  - 35-40% produced oPs /  $e^+$



# AEgIS : oPs excitation

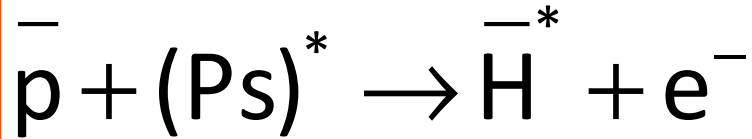
- oPs\* : produce Rydberg positronium via laser excitation:  $n=1 \rightarrow n=3$  ;  $3 \rightarrow 30-35$ 
  - $G \propto 1/n^3$
  - $t = 1/G = t_0 \times n^3$ ,  $t_0 = 142 \text{ ns}$
  - $n = 30-35 \rightarrow t = 4-8 \text{ ms}$

- Contributions/studies: CNRS-LAC & INFN

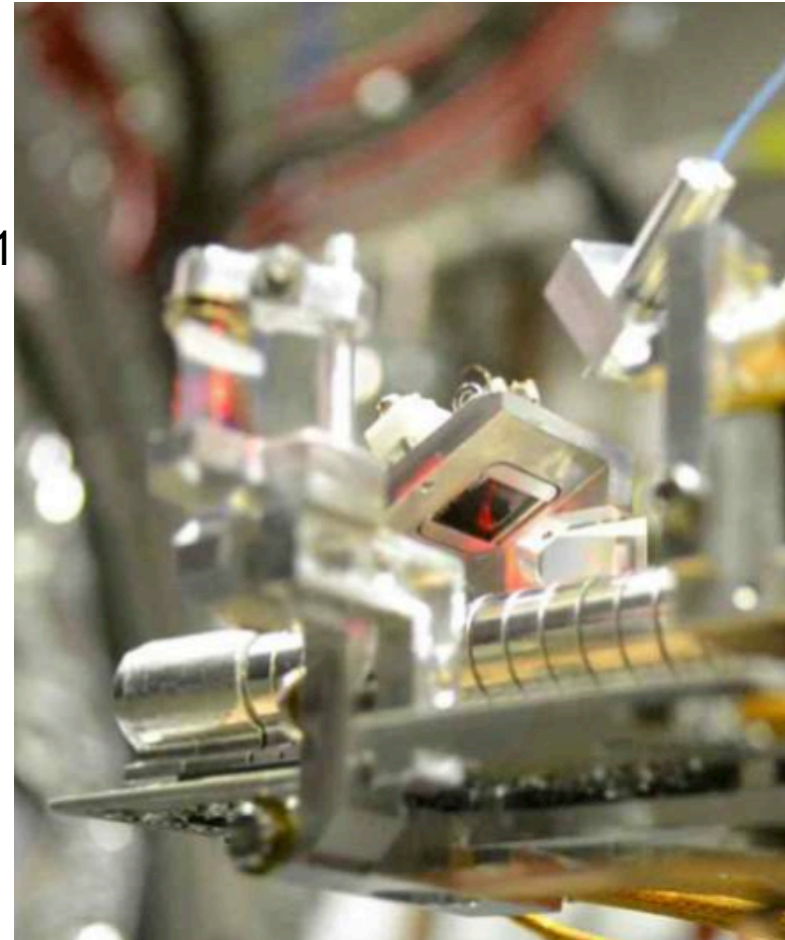
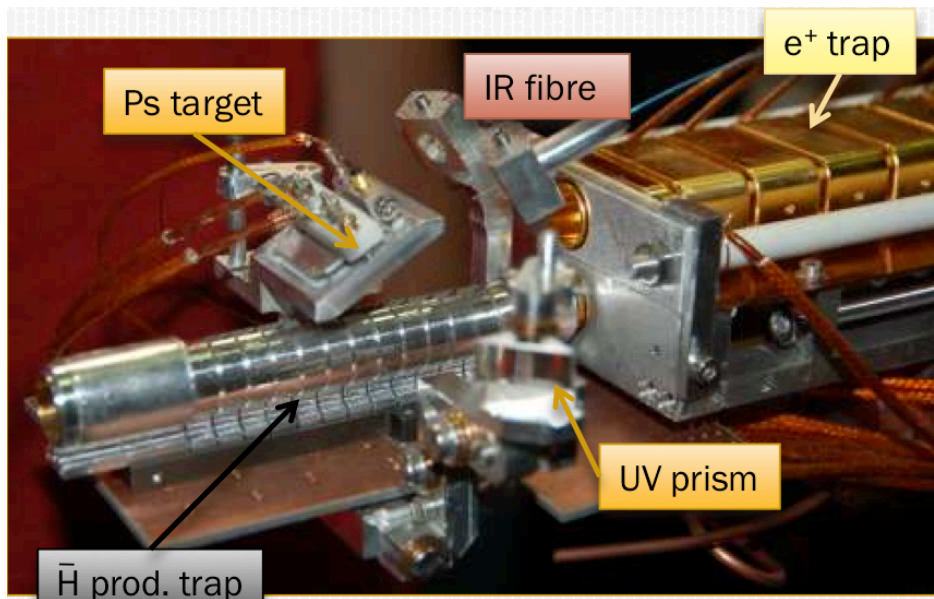


# AEgIS : antihydrogen production trap

- $\bar{\text{H}}$ : form cold (100 mK) antihydrogen atoms by the charge exchange process



- Principle demonstrated by ATRAP
- C.H. Storry et al. Phys. Rev. Lett 93 (2004) 263401



# AEgIS : antihydrogen beam formation

- Electric field gradients exert force on electric dipole moments of neutral atoms:

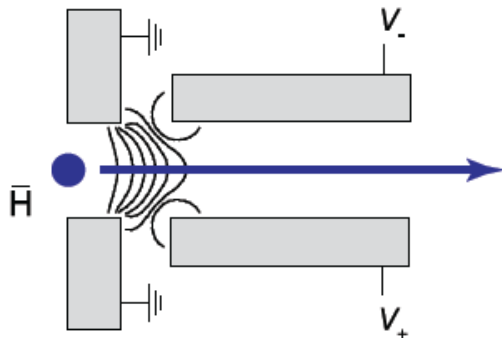
$$U = \frac{2}{3} ea_0 n(n-1) F$$

$$F = -\frac{2}{3} ea_0 n(n-1) \nabla F$$

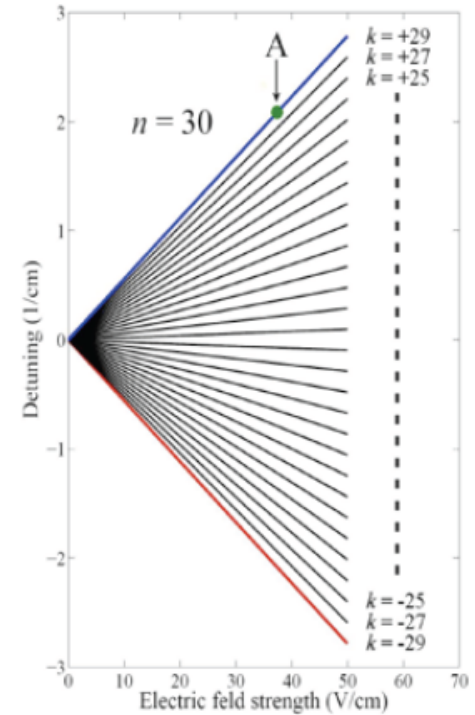
⇒ Rydberg atoms are very sensitive to inhomogeneous electric fields

- Stark deceleration of hydrogen demonstrated (ETH group)

[E. Vliegen & F. Merkt, J. Phys. B 39 (2006) L241]



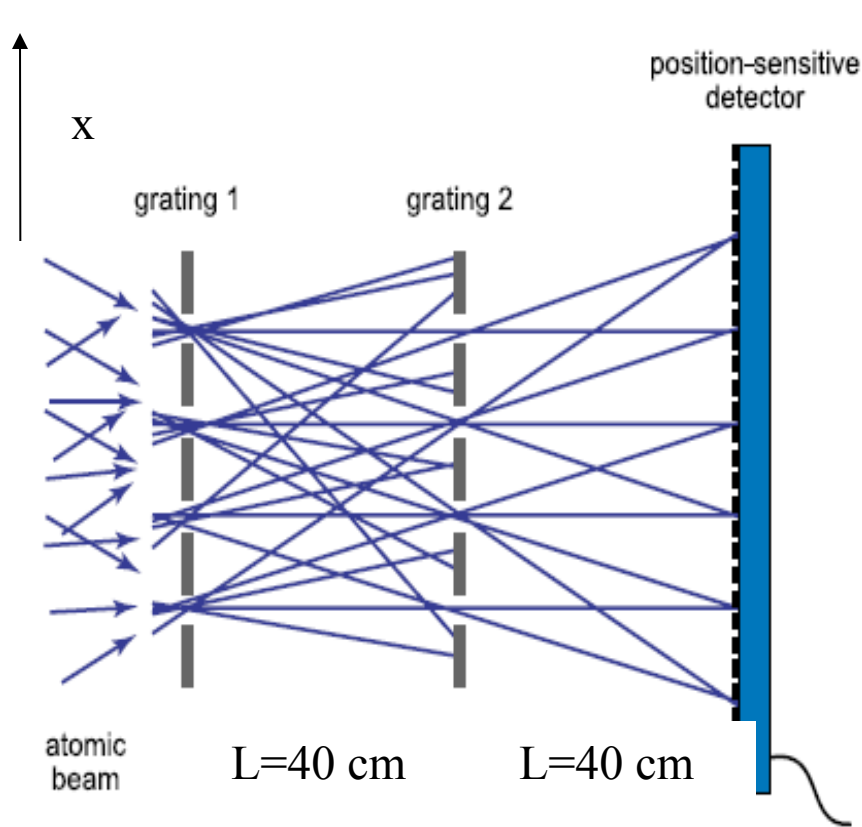
- $n = 22, 23, 24$
- Accelerations of up to  $2 \times 10^8 \text{ m/s}^2$  achieved
- Hydrogen beam at 700 m/s can be stopped in 5  $\mu\text{s}$  over only 1.8 mm





# AEgIS : free fall measurement

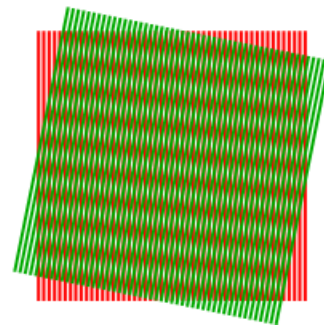
## The Moiré deflectometer : principle of operation



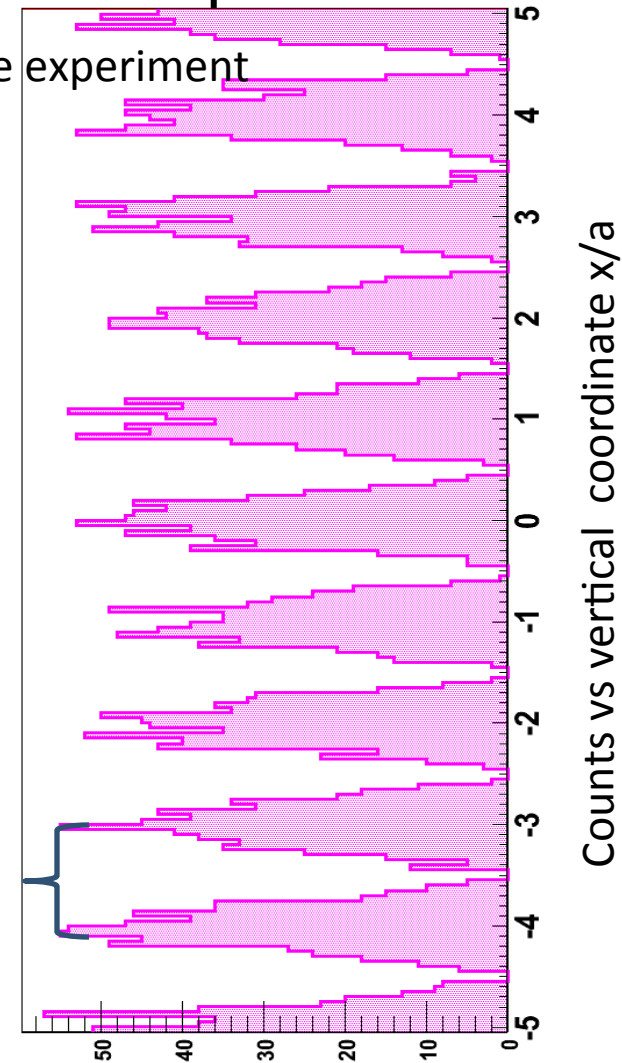
Grating period = 80  $\mu\text{m}$

Grating size = 20 cm (2500 slits)

Simulations of the experiment



$a=80 \text{ mr}$



# Moire' deflectometer: measurements/estimations

- Ordinary matter

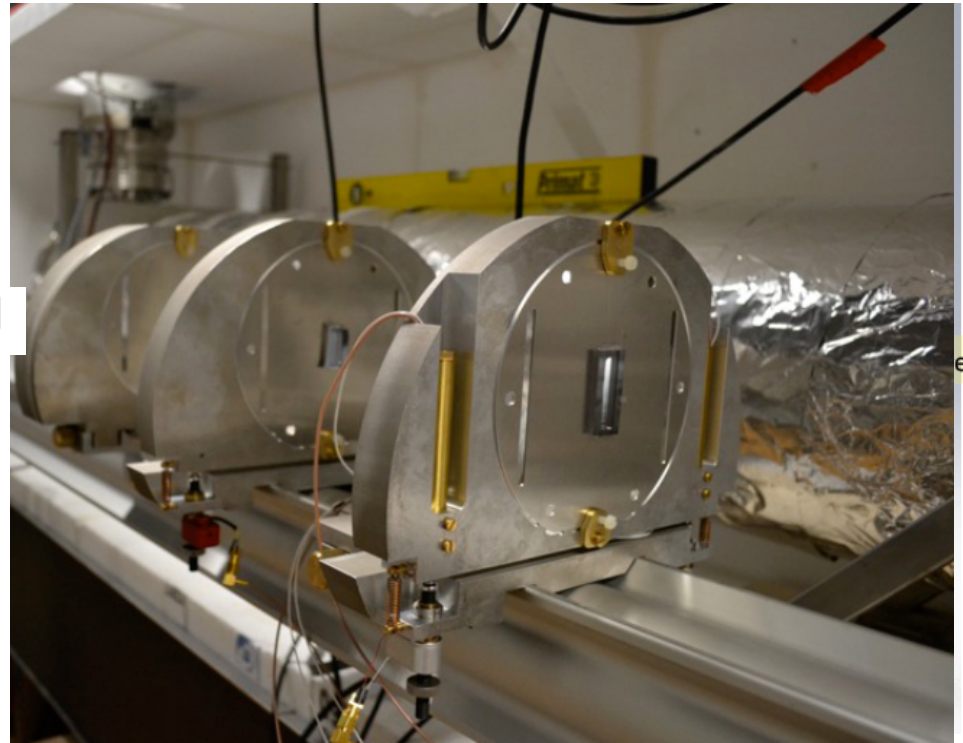
[M. K. Oberthaler *et al.*, Phys. Rev. A **54** (1996) 3165]

- Measurement performed for Ar
- $s(g)/g = 2 \times 10^{-4}$

- Anti-matter

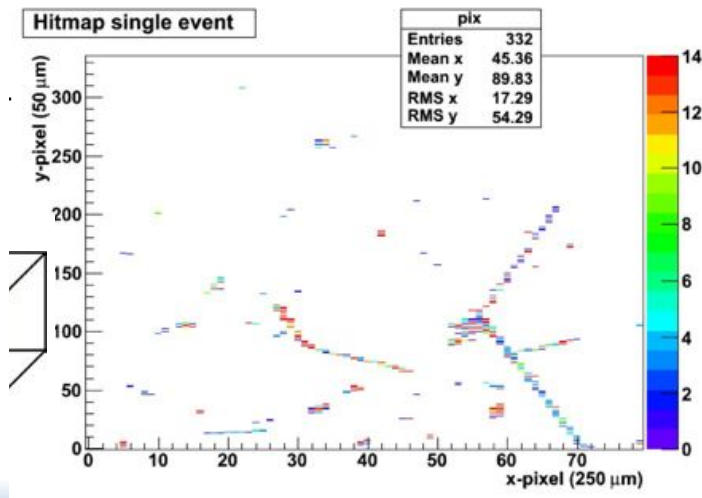
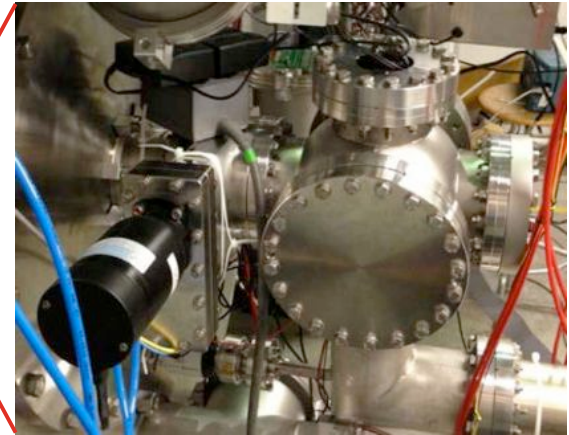
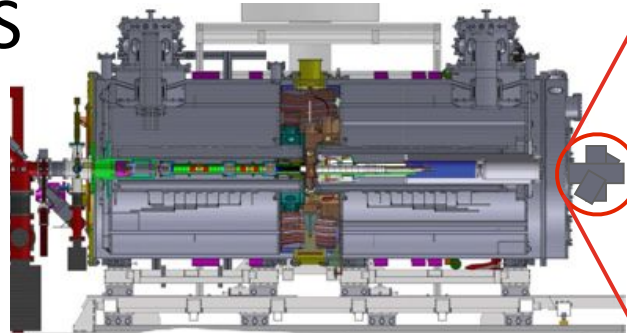
[A. Kellerbauer *et al.*, Phys. Rev. A **54** (1996) 3165]

- AEGIS:
  - With  $10^5 \bar{H}$
  - @100mK
- $s(g)/g = 1\%$

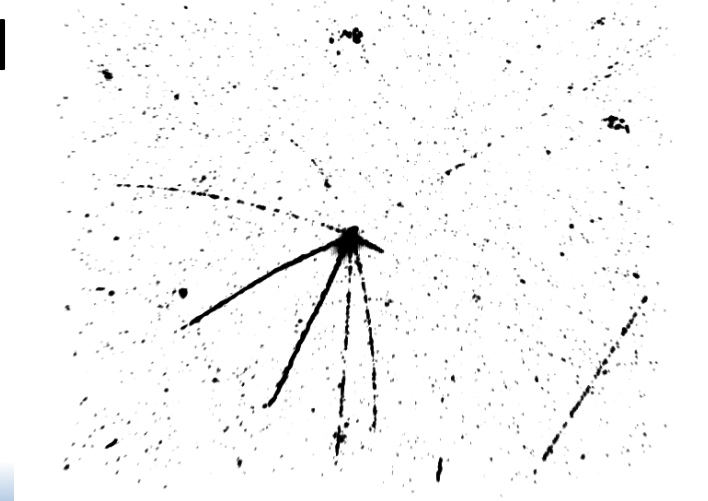
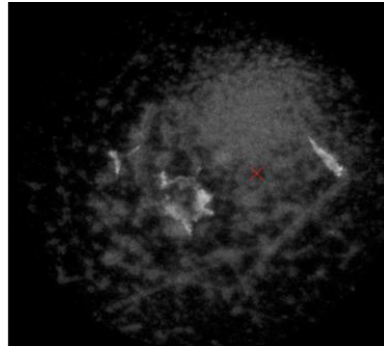


# Final Hbar detector
















– Pbar TESTS  
In AEGIS



/Multi Channel



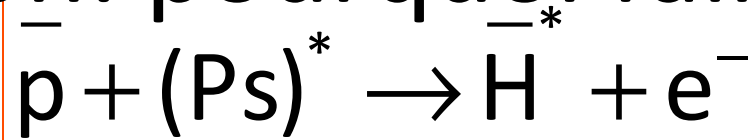
# The AEGIS collaboration (~50 f)

 <p>M. Prevedelli</p>	 <p><b>G. Testera,</b> V.Lagomarsino, Z. Zoccolarelli, R. Vaccarone</p>	 <p>M.Giammarchi, S.Cialdi, R.Ferragut, G.Consolati, F.Moia, F.Castelli, F.Prelz</p>	 <p>Bonomi, A. Fontana, L. Dassa, A. Rotondi, C. Riccardi</p>
 <p>R. Brusa, S. Mariazzi, G. Nebbia, G. Ferrari</p>	 <p><b>CERN</b> <u>M. Doser</u></p> <p>J.Bremer, A. Dudarev, S. ... ... Burkhardt</p>	 <p>F. Merkt, S. Hogan</p>	 <p>C. Amsler, C. Canali, C. Regenfus, I. Storev</p>
 <p>A. Kellerbauer</p>	 <p>M. Oberthaler</p>	 <p>V. Petracek</p>	 <p>H. Sandaker, J. P. Hansen O. Rohne</p>
 <p>S. Gninenko, A. Belov, V. Matveev</p>	 <p>H. El Mamouni P. Lebrun P. Nedelec</p>	 <p>L. Cabaret D. Comparat</p>	

# Source de proton: pourquoi faire ?

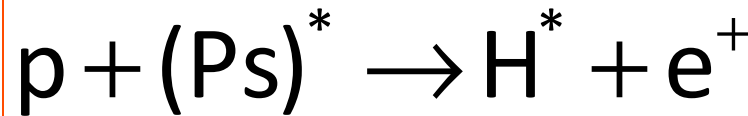
- Produire :

- Long & délicat (>2013)
- *Beam duty cycle* = 50%
- Systématiques ?



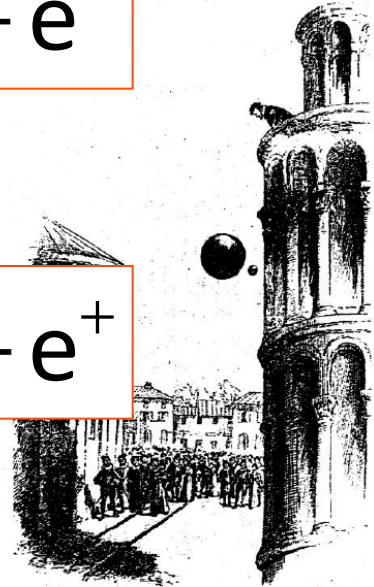
- Préparer la C-exp. :

- Permet : mise au point/réglage d'AEGIS
  - Source  $e^+$  + source  $p$  (*machine independant*)
- Contrôle des systématiques de l'expérience
  - Cœur de la manip !

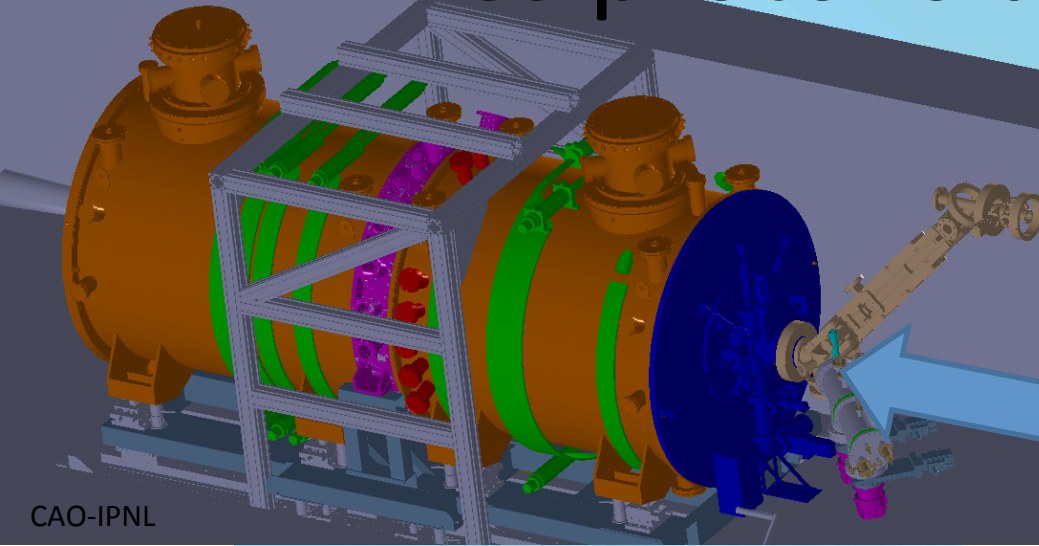


- Caractéristiques du faisceau?

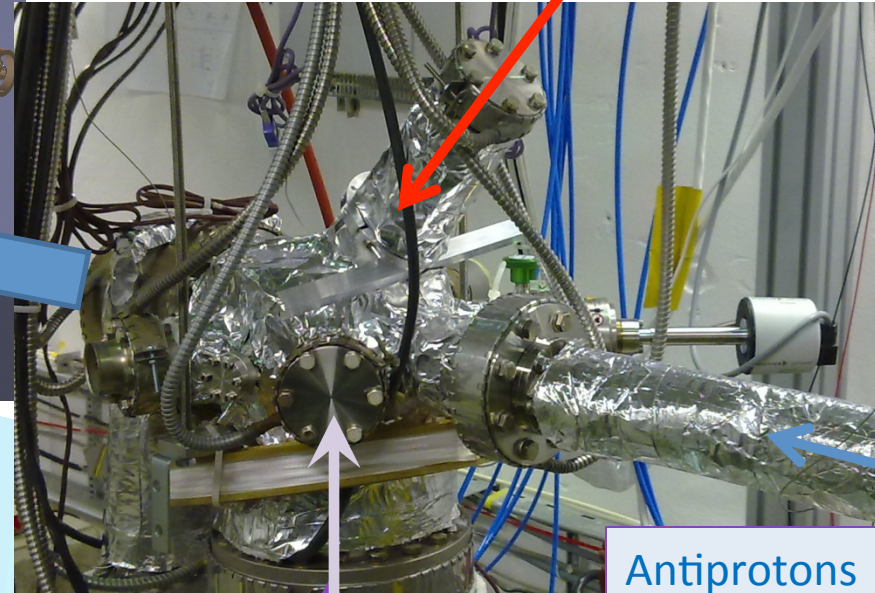
- $E < \text{qlq keV}$
- $F \sim 10^6 - 10^8 \text{ p/s}$



# Des protons dans AEGIS

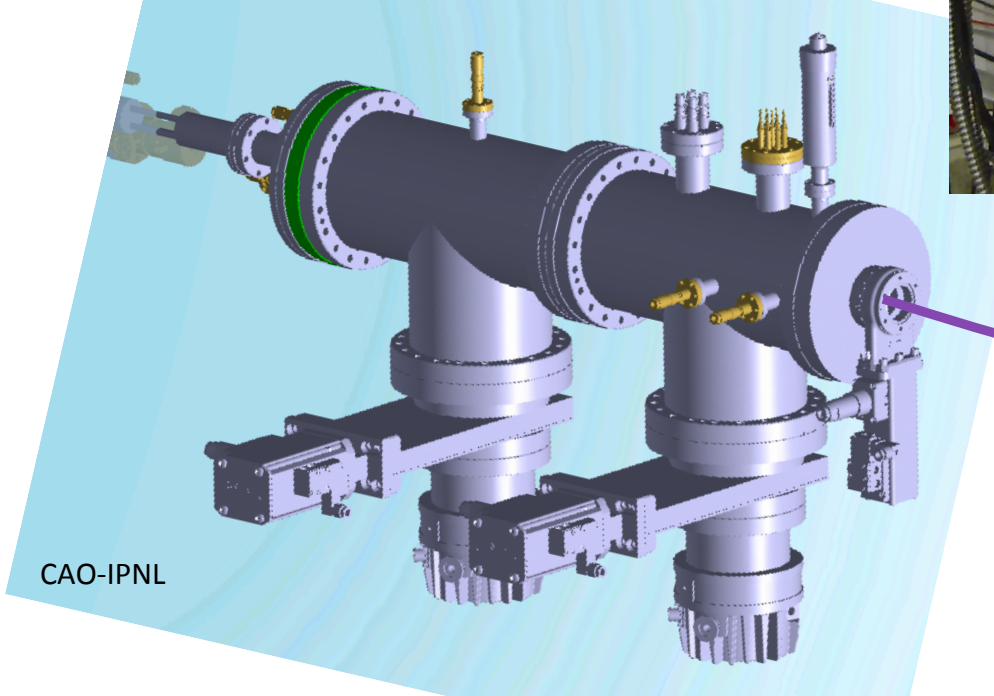


CAO-IPNL



Positrons  
To MC


Antiprotons  
From AD



CAO-IPNL

Protons  
to mixing chamber :  
  
Les protons suivent  
le meme chemin dans AEGIS  
que les pbar

# Conclusion

- **AEGIS : expérience physique fondamentale**
  - **Collaboration internationale (CERN)**
    - Réunie des physiciens de domaines  (HEP, laser, atome, cryogénéie, ...)
    - Démarrée en 2012 (e+,oPs,p); 2014 (H-Hbar)
    - France: Lab. A. Cotton, IPNL
  - **Techniques HEP ↔ compétences CNRS/IN2P3/IPNL**
    - Faisceau p, Mécanique (BE, Atelier), DAQ, Qualité, ..., Administration
  - **« Amusante & Formatrice »**
    - Il y a plein de physique ! HEP, Ps, atomique, beams, laser, cryo, H, Hbar,...
    - Outreach / Grand Public
- **Des extensions possibles (faisceau e+,ELENA) :**
  - Etudes oPs (fondamentales + matériaux)
  - Violation de CPT, spectroscopie, comparaisons H-Hbar